

推論機能と関係データベースの融合

IM-6

——ハッシュとソートによる検索——

大森 匠 田中 克己 土井 晃一 吉田 敏 田中 英彦
東京大学工学部

1. はじめに

単一化可能パターンの検索は、要求パターン・対象パターン共に複数個存在する場合、組合せが増大し隘路となりやすい。本小論文では、上記の場合を单一化を含んだ結合演算とみなし、従来のハッシング技法に加えてソートを用いた单一化可能パターンの検索方法について述べる〔1〕。

2. 検索方法

以下では、原子論理式を属性値にとった関係A、Bを考え、この間の单一化を伴った自然結合(单一化結合と呼ぶ)を例にとる(図1)。

但し、各関係はハッシング等によって述語/アリティ(引数の数)の等しいタプル集合に予め分割するとし、A、B共述語、アリティ一定のタプル集合と仮定する。

Relation A

p(f(X), g(f(a), h(z)))
p(X, g(f(a), h(b)))

Relation B

p(a, z)
p(f(a), g(f(a), h(c)))

 $A \bowtie B =$

p(f(a), g(f(a), h(c)))
p(a, g(f(a), h(b)))

図1. 単一化結合の例

2. 1 ハッシング

述語のアリティに応じて木構造(ハッシュ木と呼ぶ)をあらかじめ設定し、原子論理式をこれに合わせて展開する(図2)。

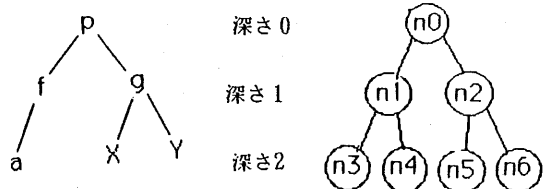
そして関係A、Bの各タプルxについて、ハッシュ木上の各ノードn0, n1...に対応したxのシンボルa0, a1...を取り、ハッシュベクトル

$H = [h(a_0), h(a_1), \dots]$ を与えた後A、B各自々をハッシュバケツ $\{H_A^i\}$, $\{H_B^j\}$ に分類する。

但し、 $h(a) = 0$ (aが変数)
 $\text{int}(a) \bmod N + 1$ (その他)

とし、また、 n_i に対応するシンボルがxに存在しないときは $h(a) = 0$ とする。例えば、図2のハッシュ木上で元xが $p(f(a), g(X, Y))$ なら
 $H = [h(p), h(f), h(g), h(a), 0, 0, 0]$ となる。

従って、ハッシュバケツ H_A^i のタプルと H_B^j のタプルとが单一化可能であれば H_A^i と H_B^j はハッシュベクトルの内積 $H_A^i * H_B^j$ の非零ノードでハッシュ値が等しくなる。これをハッシュベクトルの单一化みなすと、全体の单一化アルゴリズムは図3のようになる。

図2. アリティ=2のハッシュ木にあわせた
 $p(f(a), g(X, Y))$ の展開例

Begin

```
partition relation A & B into hash-buckets
{H_A^i} & {H_B^j}
```

```
for all H_A^i, H_B^j
    if H_A^i is unifiable with H_B^j
        then
```

(* ----- unify-try for each combination of
members in H_A^i & H_B^j
fi

ref

End

図3. ハッシングによる单一化アルゴリズム

関係Aのハッシュバケツを α 個、各バケツの濃度を $C_A^1, C_A^2, \dots, C_A^\alpha$ 、関係Bのそれを各々 β 個、 C_B^1, \dots, C_B^β とすると

$$(1) \text{ 計算量} = K1 \cdot \alpha \cdot \beta + K2 \cdot \sum_{i,j} C_A^i \cdot C_B^j$$

(但し、K1とK2は定数: i, jは H_A^i と H_B^j とが单一化可能なものの。)

单一化可能なハッシュバケツの探索はハードウエア化できる。また、ハッシュ木はタプルの分布に応じて分散の大きいノードのみ取ることが望ましい。

2. 2 ソーティング

ハッシュ木と同様にしてソート木を設定し、各タプルxに対してソートベクトル $S = (s(n0), s(n1), \dots)$ を与える。但し、 $s(n_i) = 0$ (n_i が変数)

1 (その他)
とする。

ハッシュベクトルとソートベクトルを共用すると、ソートベクトルはハッシュバケツ毎に与えられる。そして、单一化可能なハッシュバケツ H_A^i, H_B^j に対して、内積 $H_t = H_A^i * H_B^j$ をもとめ H_t 中 0 でないノード列をキーとして H_A^i, H_B^j のタプルをマージソートする。

ソート列中のキー同値類は、ソート木中での单一化可能なタプル集合である。故に図 3 での (*) の部分は下のようにかわる。

```

Begin
    mergesort all members in
    buckets  $H_A^i$  &  $H_B^j$ 
(*) -->
    unify-try for each combination
    of members in all KEY equi-
    valent classes in sorted stream
End

```

従って

$$\text{計算量} = K_1 \cdot \alpha \cdot \beta + K_2 \sum_{i,j} (C_A^i + C_B^j) \log(C_A^i + C_B^j)$$

(定数は(1)と同じ。)

例えば、

$$H = [[1, 2, 3, 4, 0, 0, 0], p(f(a), g(X, Y))] \\ H = [[1, 2, 3, 0, 0, 2, 5], p(f(X), g(f(a), h(Z)))]$$

とすると、 $H = [1, 4, 9, 0, 0, 0, 0]$ となり、ソート木中のノード列 $[n_0, n_1, n_2]$ をキーとしてソートすることになる。

3. 評価

ここではハッシュ木とソート木を共用し木の深さをかえて、ソート時にキーとなるノード数と单一化試行数における絞り込み効果との関係を調べる。

ソート用の想定木は図 2 上で 1) 深さ 1 迂の 3 ノード
2) 深さ 2 迂の 7 ノード
の 2 通りとし、サンプルは 関係 A, B 共、この木の各ノードについて n_0 は述語 p で一定、 $n_1 \sim n_6$ は変数 1、関数子 2、定数 1 の比率で無作為に組み合わせた原子論理式 100 個とする。

このとき、関係 A, B のタプル集合がソート木の各ノードに対応して持つシンボル分布を考えると、上の 1), 2) は各々、深さ 2 迂 7 ノードのソート木を予め設定したとき

- 1) この分布が、設定したソート木のノード中深さ 1 では特定のシンボルに偏っていないが深さ 2 では偏っているため、深さ 2 のノードがソートの対象となても絞り込み効果が期待でき無い場合。
- 2) 全ノード上でシンボル分布が特定の定数または変数に偏っていない場合。

を示している。

表 1. ソート木が

- 1) 3 ノード 2) 7 ノード の時の全組合せについて单一化を試行する際を基準とした
- a) ソート後の单一化試行数の比率
- b) 単一化可能なハッシュバケツの組合せ数

	1) 3 nodes	2) 7 nodes
a) unification try (g)	17%	12%
b) unifiable hash-buckets combinations (pieces)	4^2	16^2

評価パラメタは

- ・ 1 ノードあたりのハッシュ値のサイズ N
 - ・ 想定木で選ぶノード数
 - ・ 単一化可能なハッシュバケツの組合せ数
- の 3 つである。

今回は $N = 1$ とし、ノード数を変えた時の单一化可能なバケツの組合せ数も調べた(表 1)。

その結果、1) では図 2 のノード n_1, n_2 共に非変数なるハッシュバケツにタプルが集中するため、絞り込み効果は 2) と大差なくなっている。

故に、ソート木を設定する際は、次の 3 点が必要である。
① できるだけ深さが小さくて非変数シンボルになる確率が高く、且つ特定のシンボルに偏っていないノードが 2 ~ 3 個含む様にすべき。

② 変数になる確率の高いノードと、その子ノードまで含んでも絞り込み効果は小さい。

③ 一方、想定木のノード数 n を増すときには单一化可能なハッシュバケツの組合せが $\mathcal{O}(2^n)$ となるため、ハードウェア化等による高速化が必要である。

4. おわりに

本小論文では、ハッシュとソートを用いた单一化可能なバケツの検索方法について述べ、簡単な評価を行った。

今後は、タプルの分布に応じたハッシュ木の動的な最適設定、单一化可能なハッシュバケツ選択の高速化 等の検討が必要である。その際には、ソート用のキーをつくるオーバーヘッドとの兼ね合いでハッシュ値のサイズを大きくし 1 バケツあたりの濃度を下げてソートを省くことも考えるべきである。

[参考文献]

1. Relational Algebra Machine Based on Hash and Sort : GRACE

M.Kitsuregawa 東京大学学位論文 '82